

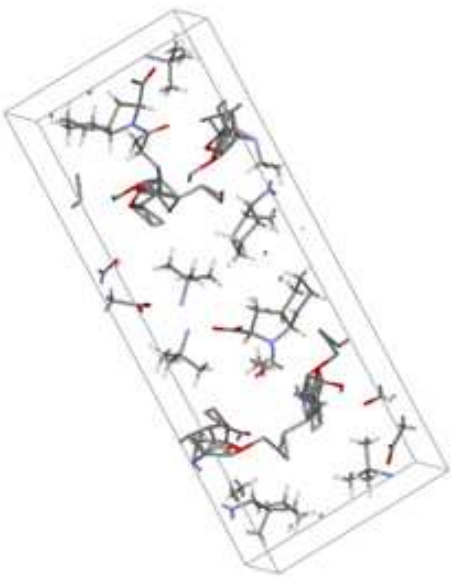
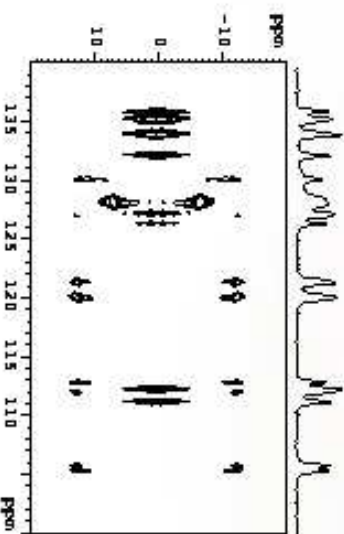


Institute of Macromolecular
Chemistry AS CR
Heyrovský Sq. 2
162 06 Praha 6
Czech Republ.

autoři:

jiri brus, martina urbanová,
alexandr jegorov a michal hušák

rtg a NMR krystalografie pro farmaceuticky aktivní substance

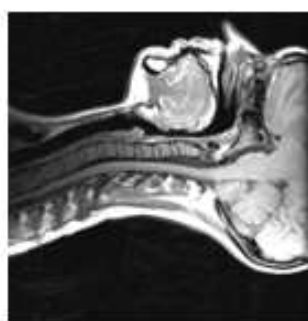
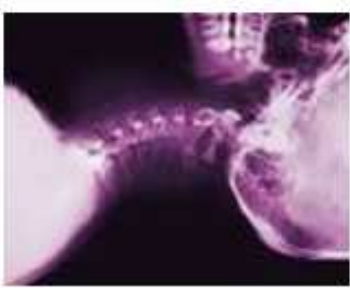
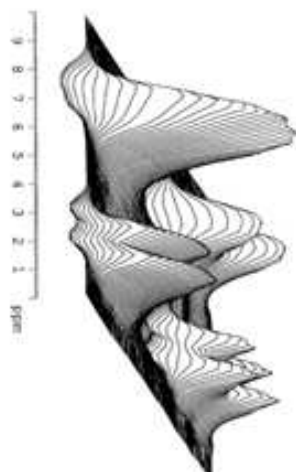
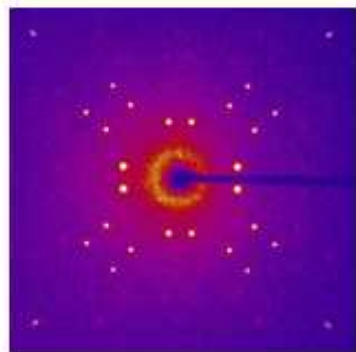


ssNMR - NMR krystallografie

Komplementarita

XRD

NMR



Rtg a NMR krystalografie pro farmaceuticky aktivní substance

- Principy NMR krystalografie a cíle projektu
- Dílčí výsledky:

- Princip dipolární spektroskopie a určování strukturální fragmentů
- Uspořádání molekul, strukturní motivy a segmentová dynamika (LT-simvastatin)
- Faktorová analýza ^{19}F , ^{13}C NMR data a XRPD dat amorfních substancí
- Sůl nebo co-krystal? ^{15}N CPPI NMR - jednoduchá procedura

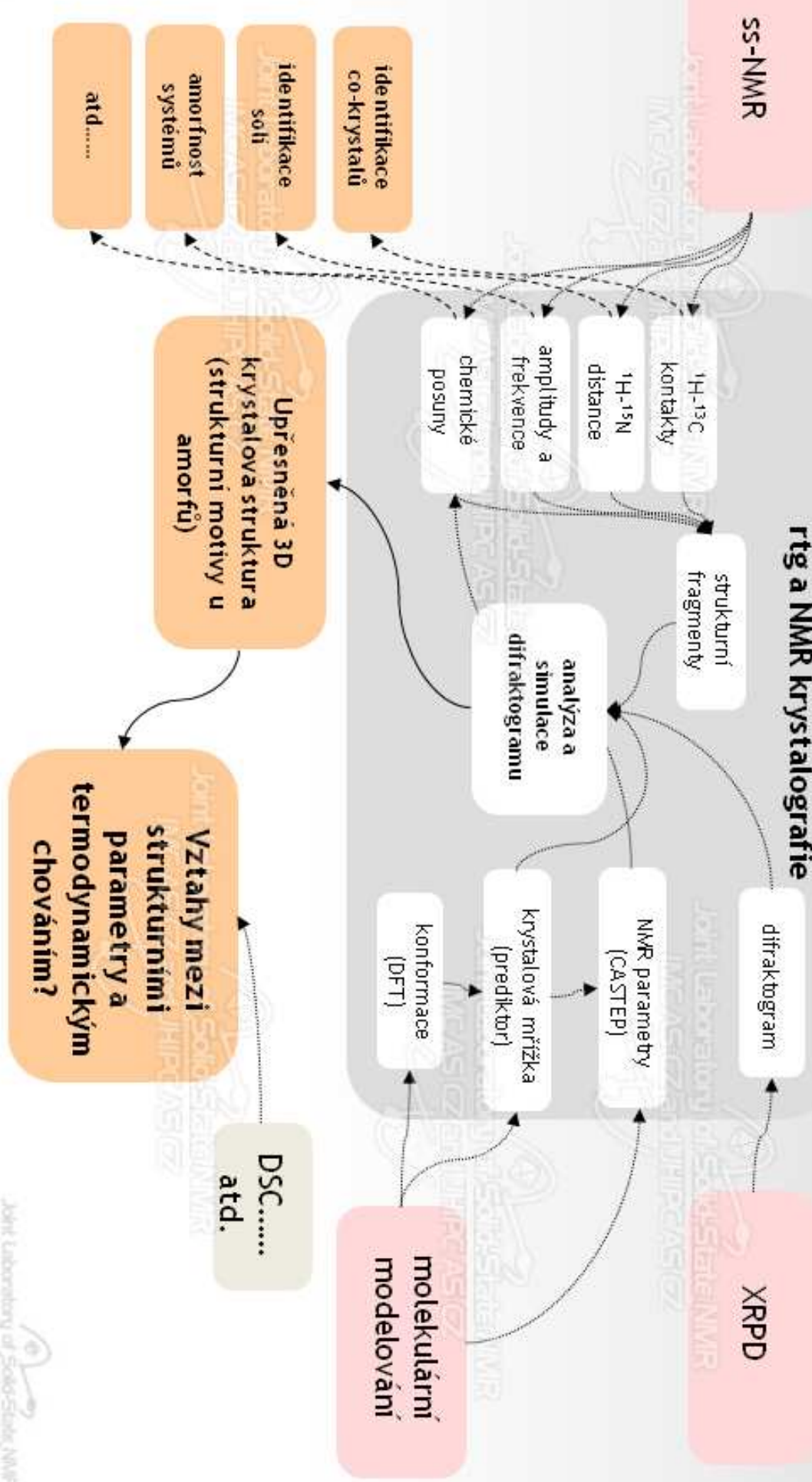


Představení a cíle projektu

- Problém - obtížně předpověditelný polymorfismus
 - Biologická dostupnost a krystalová struktura
 - Patentové komplikace a spory
-
- Rozvoj nového vědního oboru - NMR krystalografie
 - Spojení ssNMR, XRPD a molekulárního modelování
 - Rychlá a spolehlivá identifikace a strukturní analýza API
 - Pochopení jevu polymorfie ve vztahu s termodynamickým chováním API
-
- Metodika NMR krystalografie - monitorování farmaceutických produktů
 - Optimalizace pro průmyslové měřítko - minimalizace experimentálního času



Představení a cíle projektu



Dílčí cíle projektu - první etapa

Vypracování metodiky pro jednoduché systémy

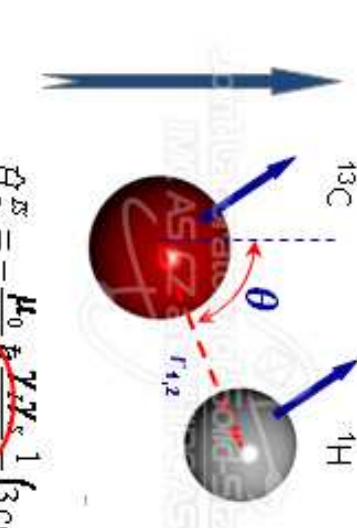
- Určování strukturních fragmentů: ^{13}C - ^1H kontakty a vzdálenosti pro rtg
- Simvastatin (C_{25}) - fázové přechody a nízkoteplotní formy
- Lokalizace vodíkových atomů
- Dynamika
- Metodický aspekt - porovnání DSC, XRPD, ssNMR
- Rychlá detekce a identifikace krystalových forem
- ^{19}F NMR - vypořídací hodnota spekter, porovnání s ^{13}C NMR a XRPD
- Posouzení amorfnosti



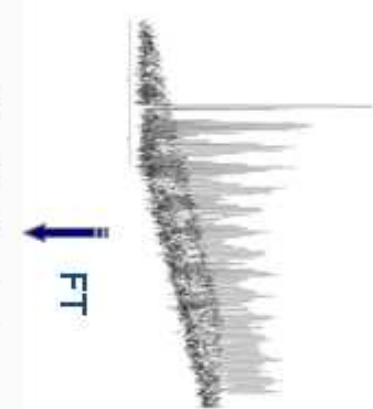
Určování strukturálních fragmentů I

Dipolární interakce a meziatomová vzdálenost

Dipolární oscilace ^{13}C NMR signálu pro typickou C-H skupinu



$$\hat{H}_D^S = -\frac{\mu_0 \hbar}{4\pi} \frac{Y_N}{r_{\text{CH}}^3} \frac{1}{2} (3 \cos^2 \theta - 1) \hat{I}_z \hat{S}_z$$



Dipolární spektrum

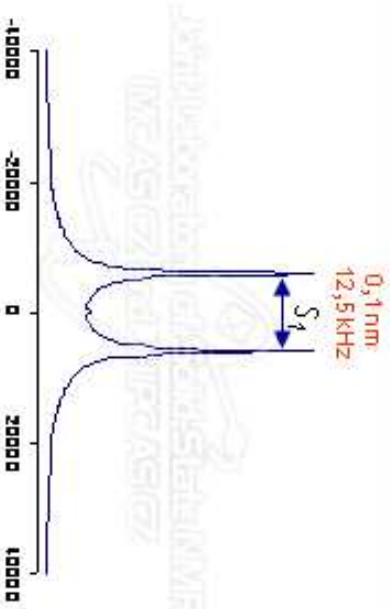
Škálování D

$$r_{\text{CH}} = a \left(\frac{S_1}{2\pi} \right)^{\frac{1}{3}}$$

$$S_1 = \sin \theta_m \frac{D_S}{\sqrt{2}}$$

$$\sin \theta_m = 0.816$$

$$\theta_m = 54.7^\circ$$

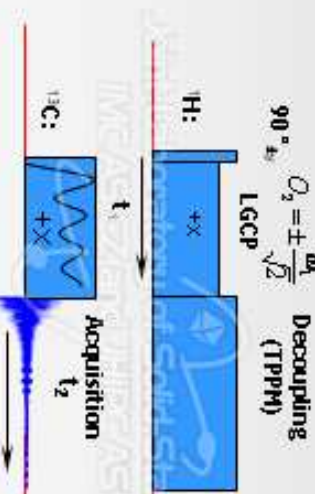


- D - dipolární interakční konstanta závisí na $1/r_{\text{CH}}^3$.
- D - dipolární interakční konstanta by měla být konstantní pro všechny C-H páry v CH or CH₂ skupinách, protože vzdálenost je vždy 0.11 nm

Určování strukturálních fragmentů II

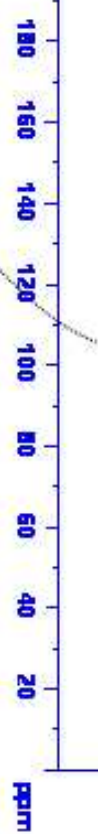
Separace lokálních polí

Lee-Goldburg cross-polarization (LG-CP)

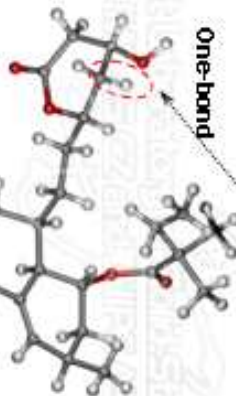


Hong, M. et al. J. Phys. Chem. B 106, 7355 (2002).

Recoupling of dipolar interactions at ± 1 and ± 2 SSB



One-bond

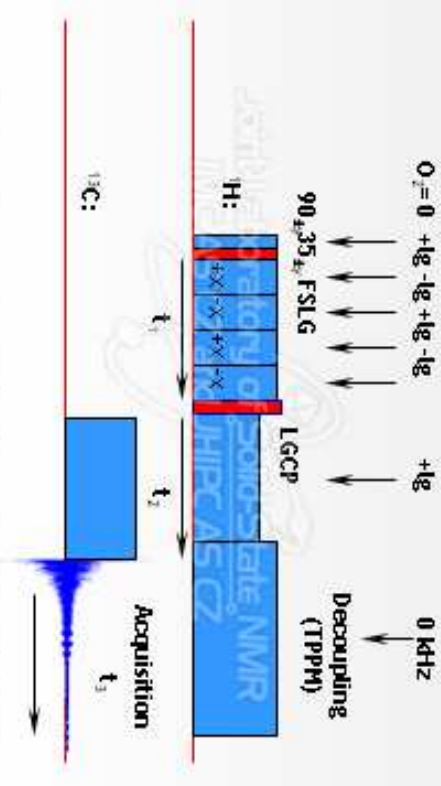
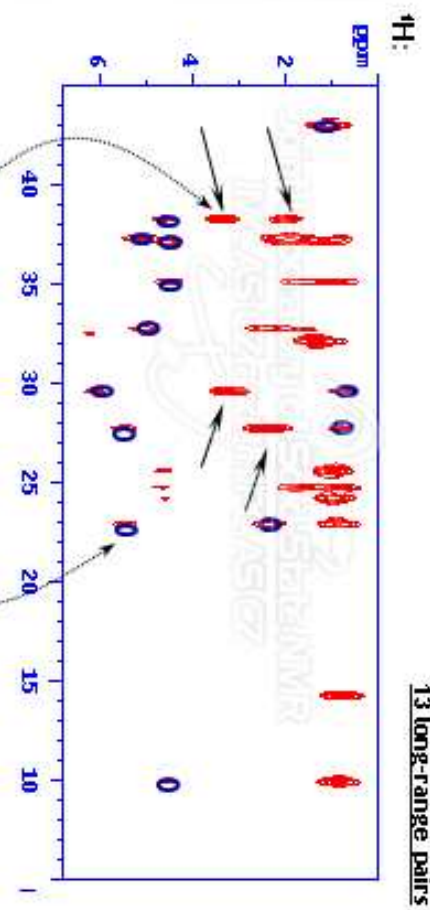


- Ve výsledném 2D spektru jsou dipolární interakce separovány pro každý rozlišený uhlíkový atom do druhé dimenze. Ovšem získaným dipolárním profily dominují jednovazebné dipolární interakce, které jsou pro určení struktury nevýznamné.

Princip dipolární spektroskopie III

Zvýšení dimenzionality experimentu

Standardní 3D experiment
 ^1H - ^{13}C FSLG-LGCP-HETCOR



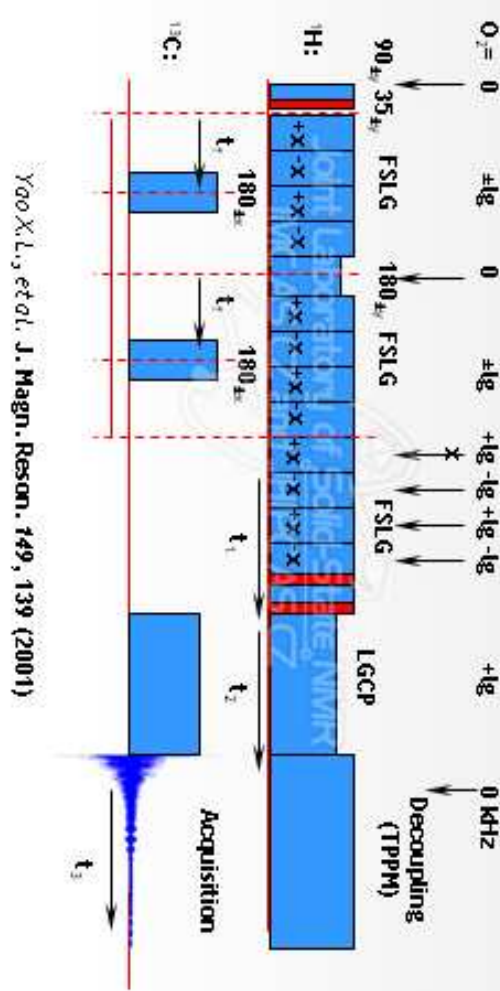
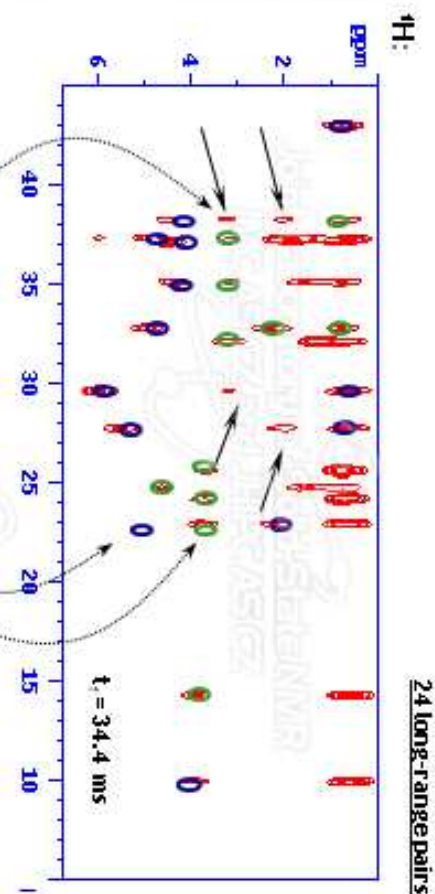
B.-J. van Rossum, et al. J. Am. Chem. Soc. 122, 3465 (2000)

Princip dipolární spektroskopie IV

Potlačení nežádoucích signálů

Rozšířený 3D experiment

REDOR rozfázovaný ^1H - ^{13}C FSLG-LGCP-HETCOR

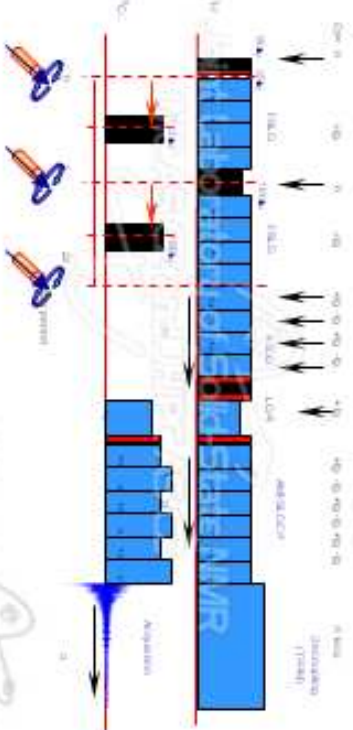
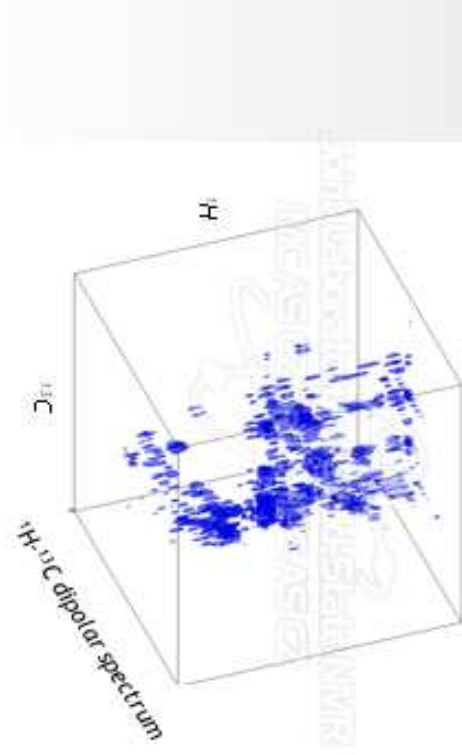
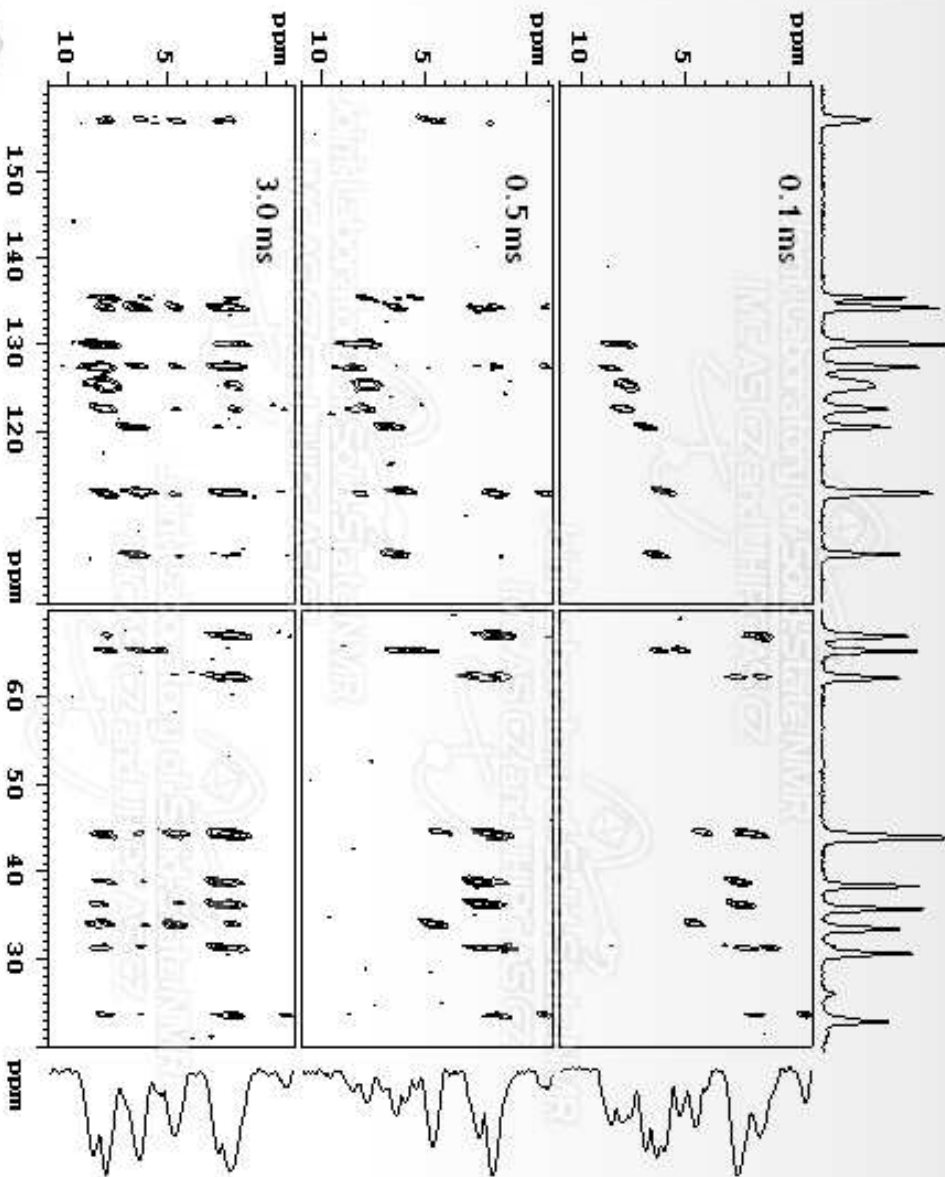


Yao X.L., et al. J. Magn. Reson. 149, 139 (2001)

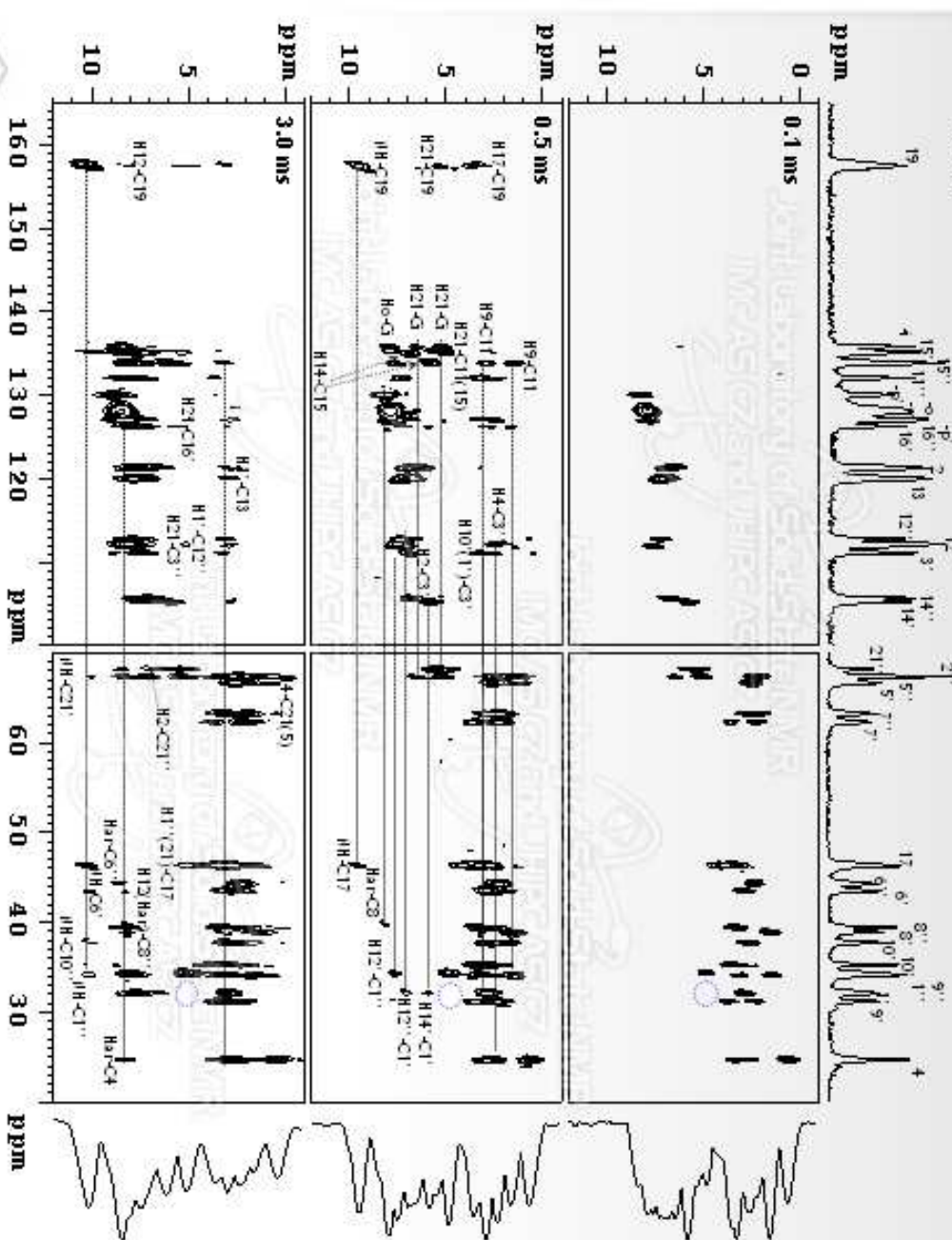
1H-13C kontakty: dipolární spektroskopie

REDOR rozfázovaný ^1H - ^{13}C FSLG-LGCP-HETCOR s amplitudovou a frekvenční modulací LGCP

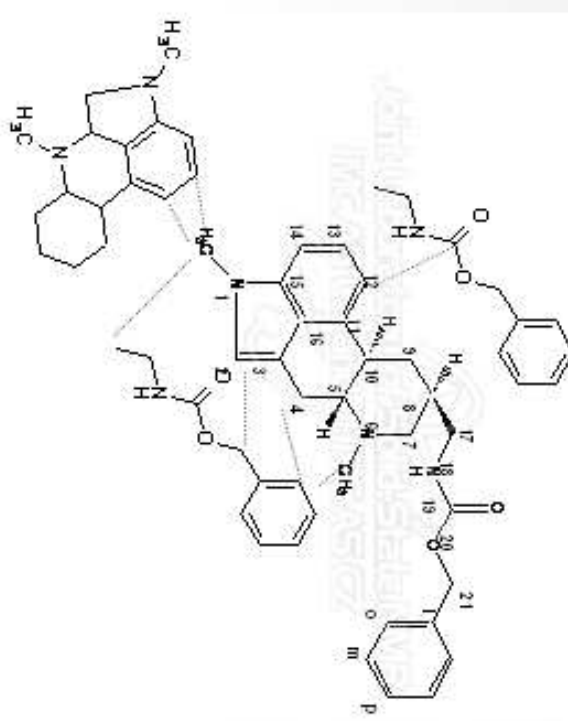
3D experiment



Strukturní fragmenty



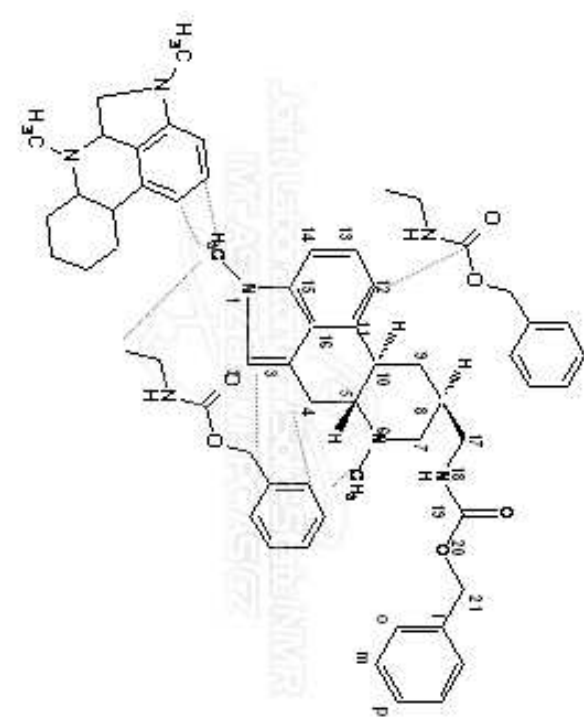
Structural fragments determined from ssNMR spectra



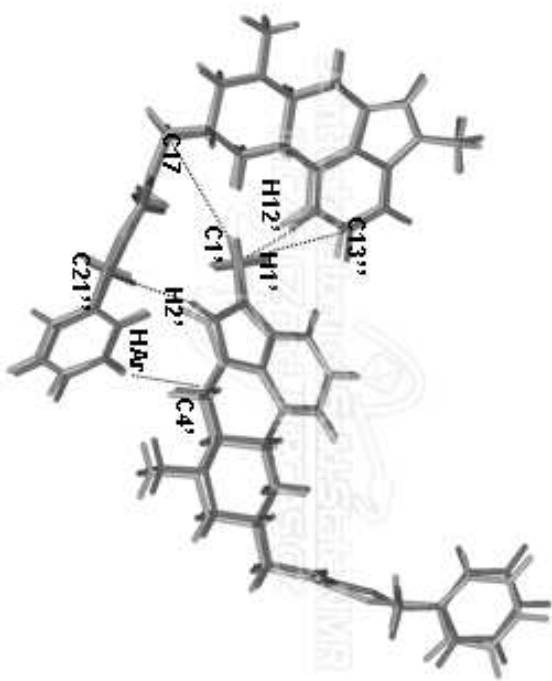
Strukturní fragmenty - geometrická omezení

^{13}C - ^1H FSLG-LGCP HETCOR v porovnání s XRPD výsledky

Upřesněná XRPD struktura



Strukturní fragmenty získané z ssNMR spekter



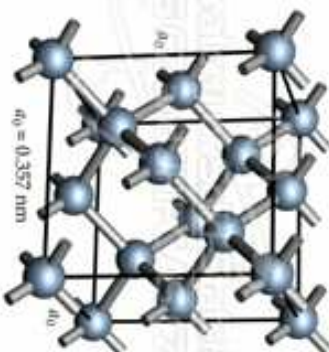
Zcela rigidní systémy

Dokonalé krystaly a atomární sítě

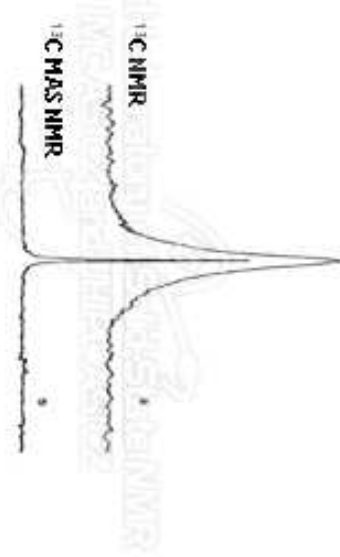
Diamant



James Bond, 1971, "Diamonds are forever".
Diamant je nejlepší přítel ženy



$T_1(^{13}\text{C})$ relaxation time - up to 2 days



Nízkoteplotní formy Simvastatingu

DSC měření

Simvastatin (Zocor®)

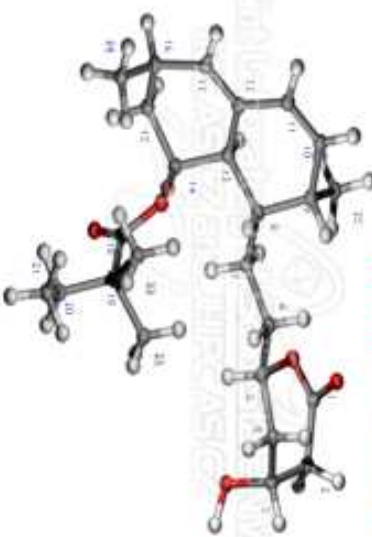
Merck



"Every compound has different polymorphic forms, and that, in general, the number of forms known for a given compound is proportional to the time and money spent in research on that compound"

McCrone, W. 1963

Form I (single molecule)



VT ^{13}C CP/MAS NMR

esterový ocas

ester tail

ester tail



Form I

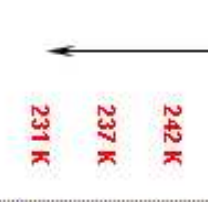
Transition I → II

Temperature

Single molecule

Form II

Transition II → III



Two molecules

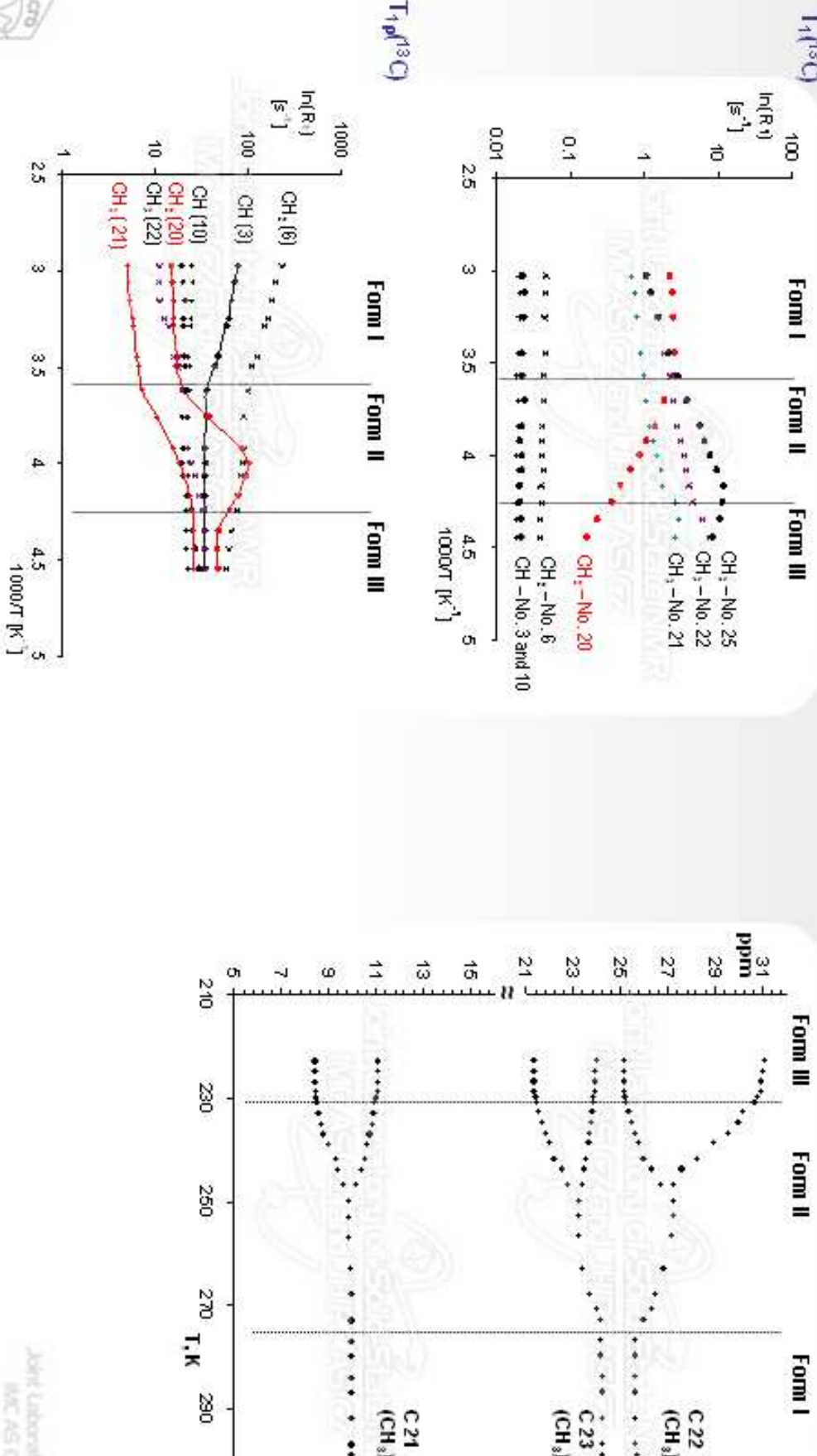


Nízkoteplotní formy Simvastatingu

Konformační přeměny a segmentová dynamika (frekvence)

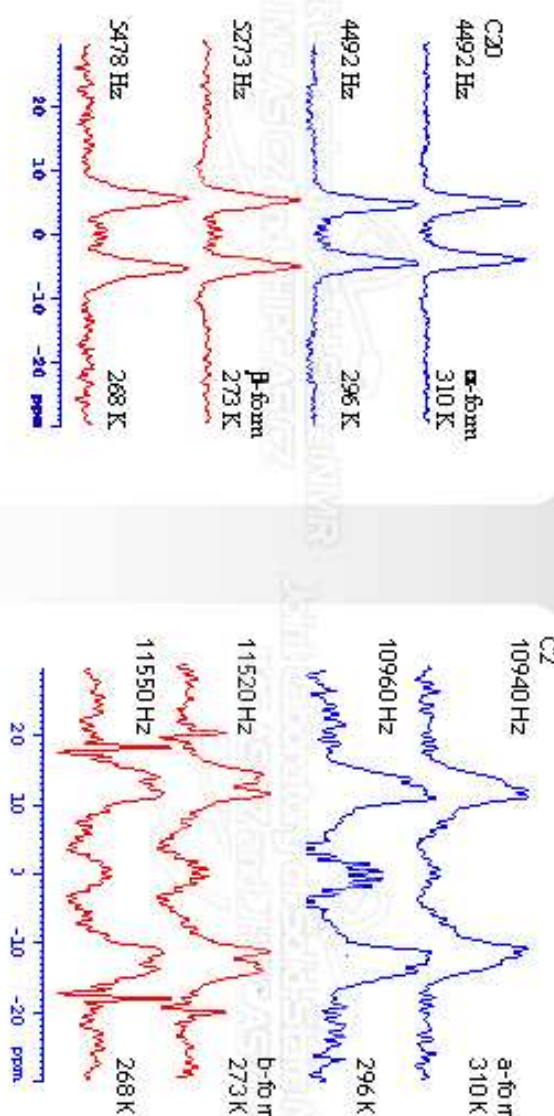
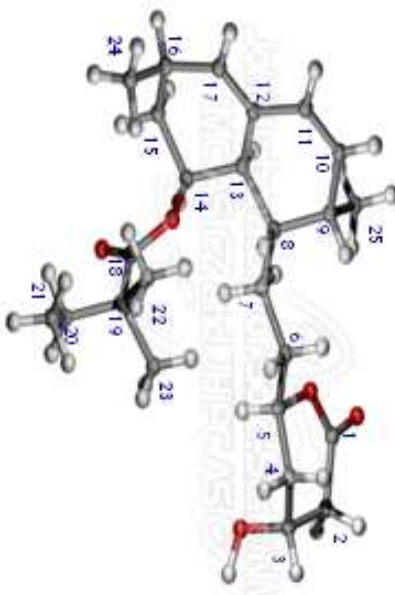
Relaxační rychlosti vs. teplota

Teplotní měny chemického posunu



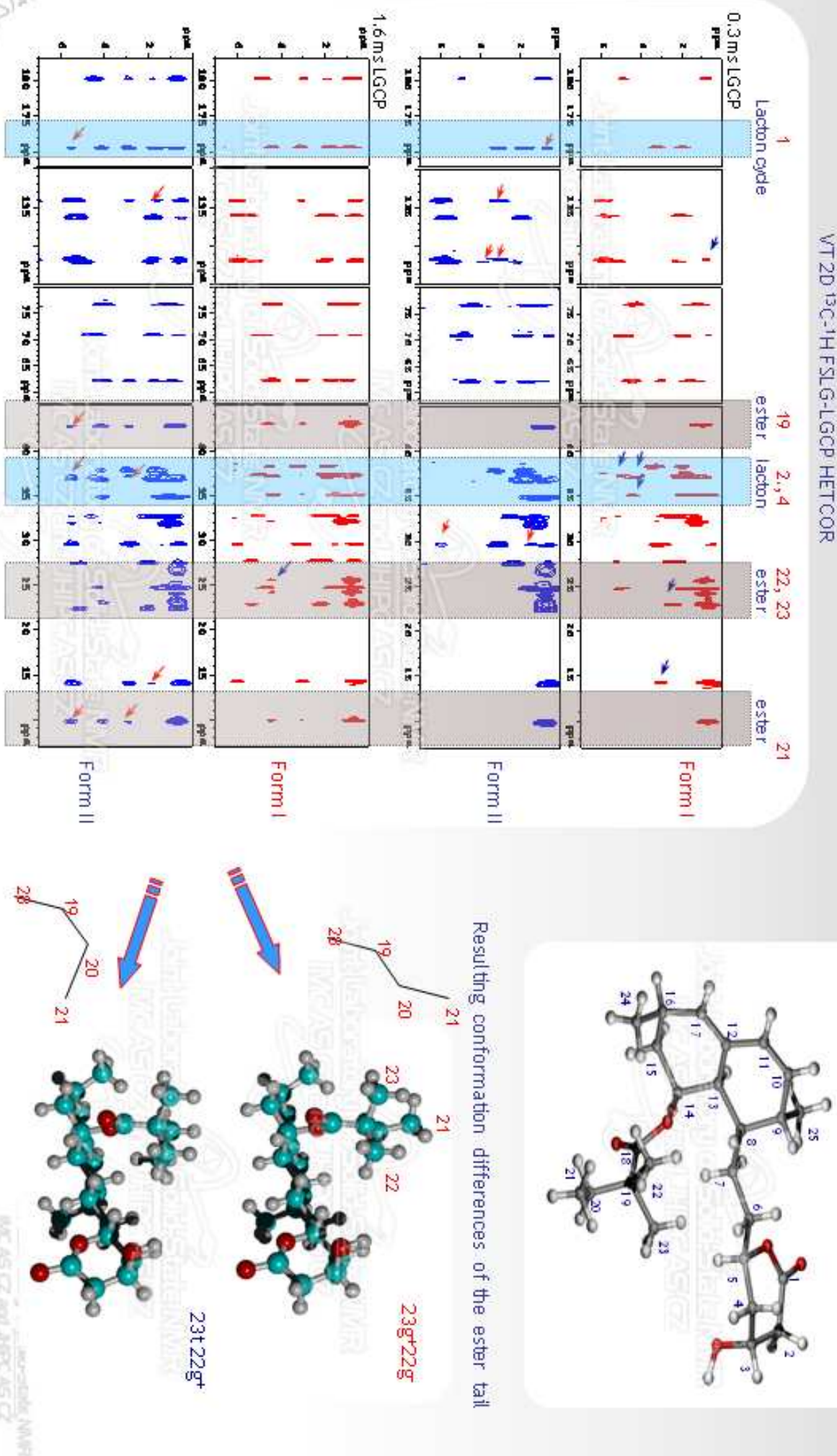
Nízkoteplotní formy Simvastatingu

Konformační přeměny a segmentová dynamika (amplitudy)



Segment A	Ethylene link B	Lacton cycle C	Ester tail D
C9-C11	C6	C5	C20
Order parameter S_z , Root mean square angle (r.m.s.a.)			
Formal	$S = 1 - 0,99$ $0 - 2^\circ$	$S = 0,98 - 0,97$ $6 - 8^\circ$	$S = 0,97$ $\sim 7^\circ$
Three site jump 38:31:31% or ~60° in the cone			
Formal II	$S = 1 - 0,998$ $0 - 2^\circ$	$S = 0,93 - 0,92$ $12 - 13^\circ$	$S = 0,975$ $\sim 7^\circ$
Three site jump 48:26:26% or ~54° in the cone			

Nízkoteplovní formy Simvastatinu



A co praktické výsledky?

Propojení mezi ssNMR a makroskopickým chováním

Makroskopické chování

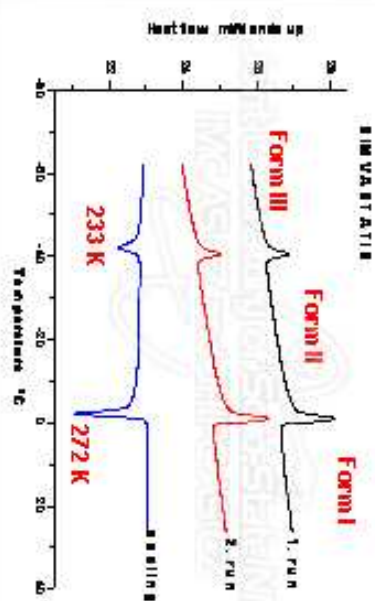
Spektrální parametry,
struktura, pohybové
chování



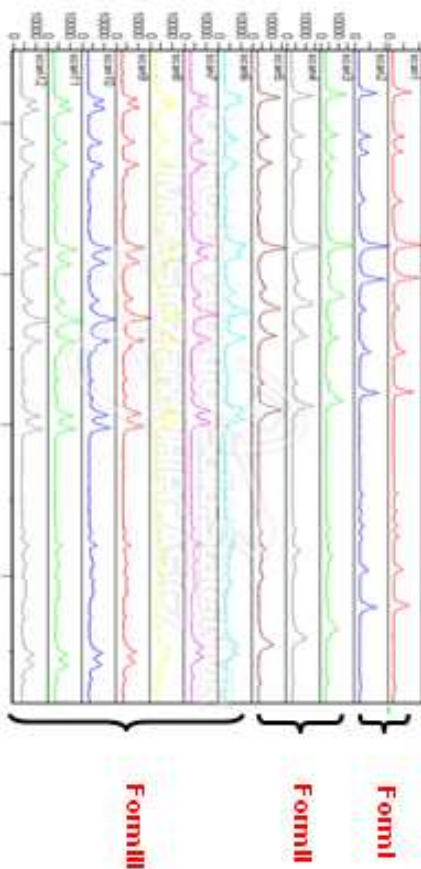
Metodické aspekty

Porovnání výsledků DSC, XRPD a ssNMR

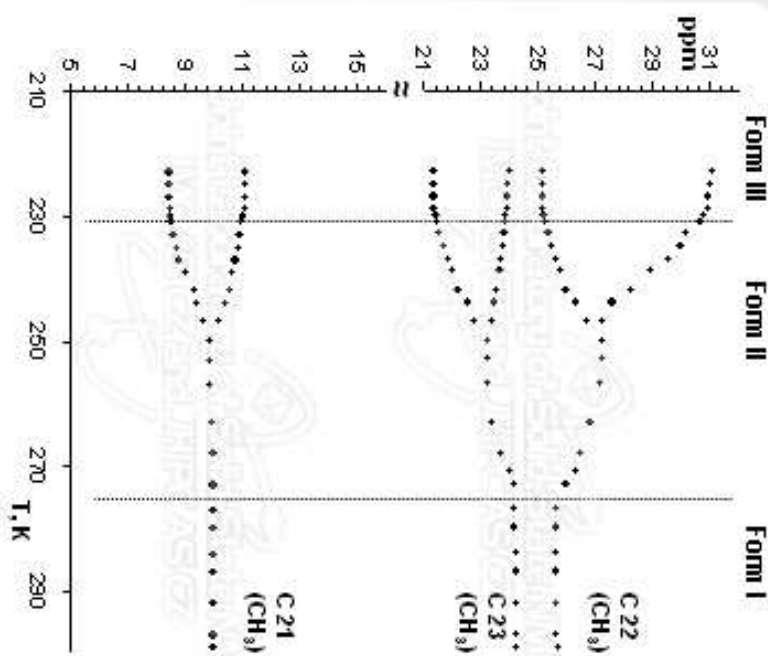
DSC



XRPD

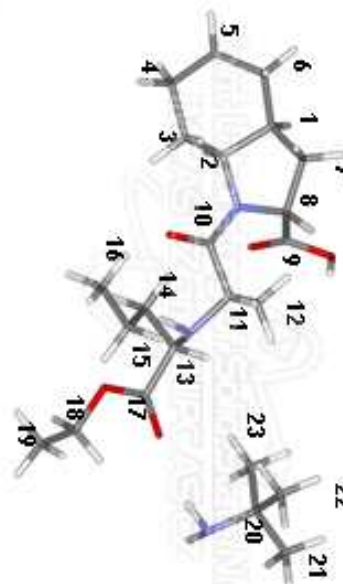


^{13}C CP/MAS NMR



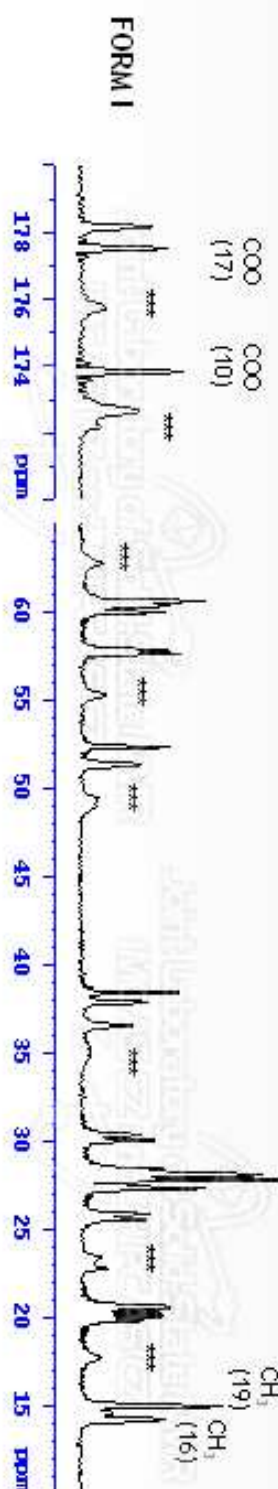
Stabilita krystalové modifikace

Dynamický disorder

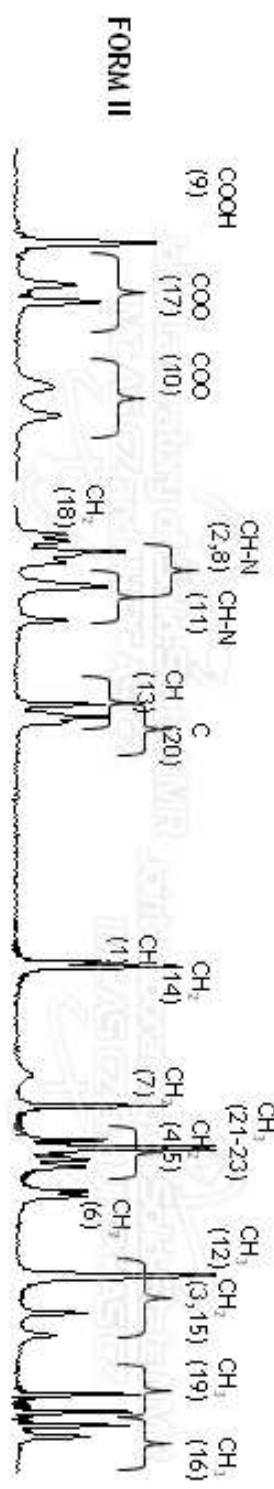


- **Perindopril - Form I:** thermodynamically most stable form - prepared by slow crystallization from aprotic solvents or by moderate short-term heating of other forms (always broad and narrow signals detected in NMR spectra)
- **Perindopril - Form II:** less stable form containing two symmetry independent molecules in the crystal unit, irreversibly converts to the Form I

¹³C CP/MAS NMR



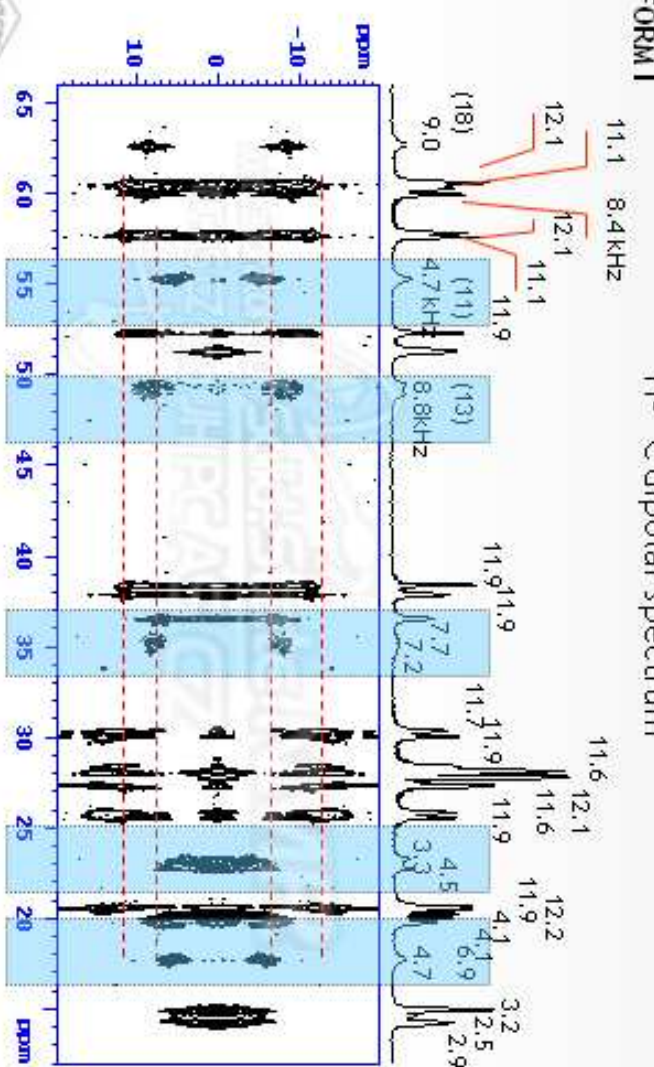
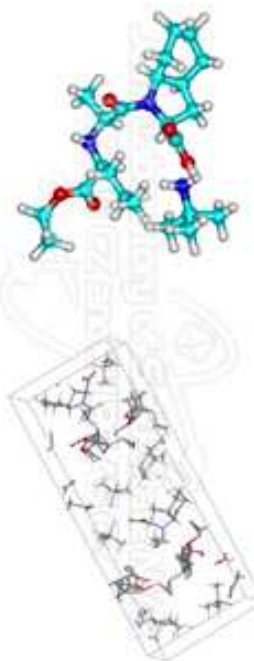
FORM I



FORM II

Stabilita krytalové modifikace

Dynamický disorder



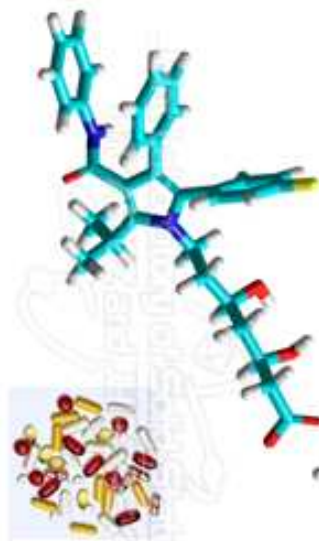
- **Perindopril - Form I:** ca. 30% of molecules have undefined conformation, the observed disorder is dynamic (high amplitude segmental motion is detected)
 - **Order parameter** determined from dipolar spectra for some CH and CH₂ sites (e.g. 55, 35 ppm)

$$S = 0.55$$
 - **Average fluctuation angle** of disordered fractions determined using rotational diffusion model:

$$\theta = 30\text{--}40^\circ$$
 - **Upper bound of Gibbs energy** of the transition Form I \leftrightarrow Form II calculated from the order Parameters (i.e. increase in conformation entropy at given temperature, stabilization energy):

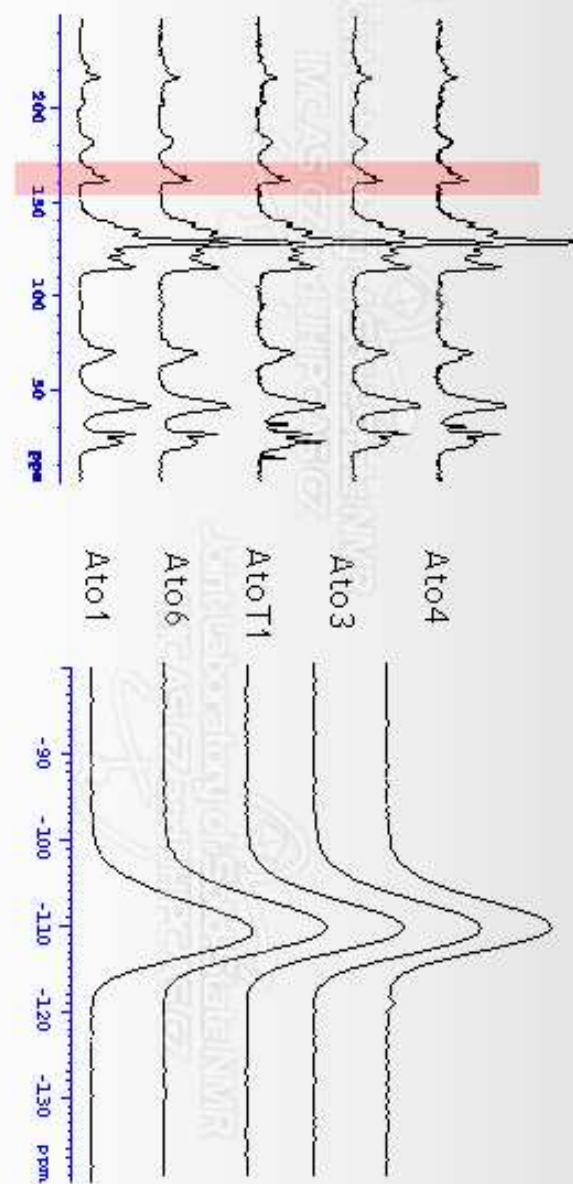
$$\Delta G = -kT \sum_n \ln \left(\frac{1 - S_{n1}^2}{1 - S_{n1}} \right)$$

Atorvastatin: poly(a)morfismus a lékové formy

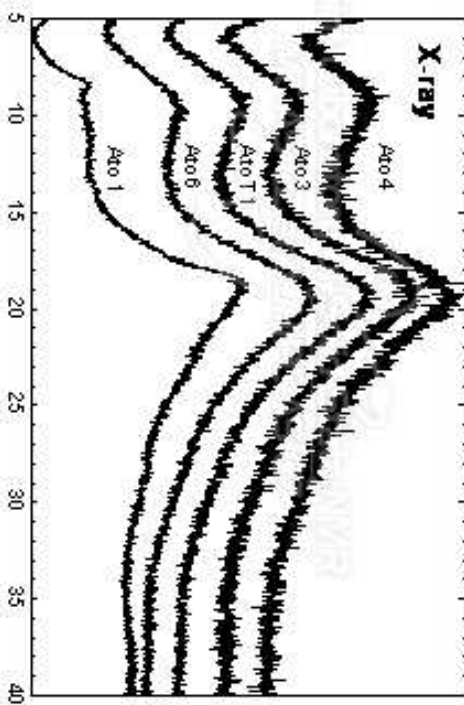


^{13}C CP/MAS NMR

^{19}F MAS NMR



XRPD



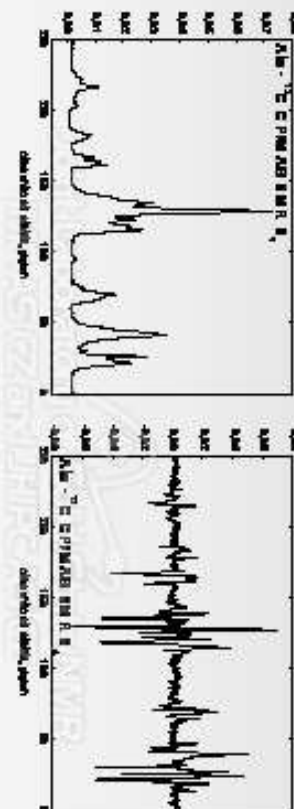
Atorvastatin: poly(a)morfismus a lékové formy

$$Y_i = \sum_{j=1}^n w_j V_{ij} S_j$$

Factor analysis is a mathematical method which can help us to describe large data series by a single or small amount of factors (parameters). The factor analysis enables us to independently characterize each original series of spectra by the orthogonal base. The orthogonal base is composed from the set of so-called "subspectra" S_j . The statistical importance of each spectrum is expressed by the set of singular numbers w_j ; the relative presence of the subspectrum S_j in the experimental spectrum Y_i is specified by the coefficients V_{ij} . The experimental spectrum Y_i is then given by the expression...

Faktorová analýza

Relativní váha subspektra S_1 v experimentálním spektru



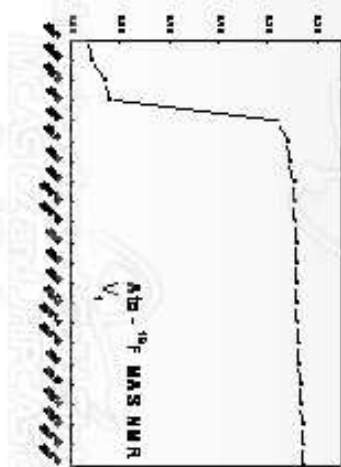
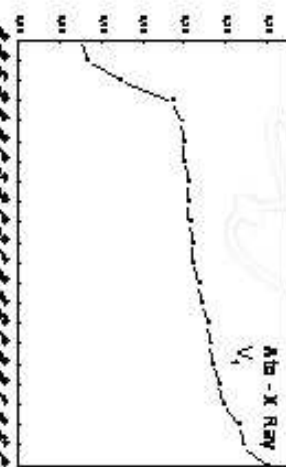
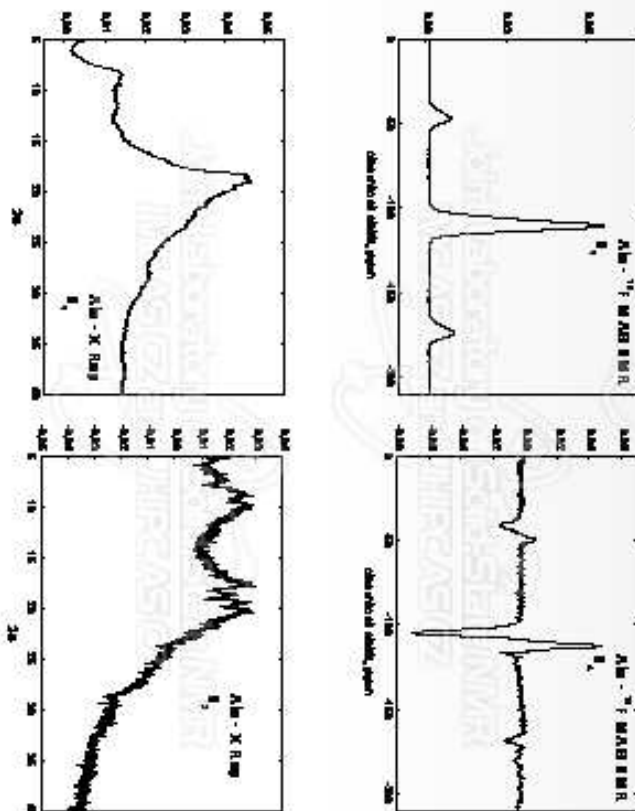
Subspektrum S_1

Subspektrum S_4



V_1

V_2



Atorvastatin: poly(a)morfismus a lékové formy

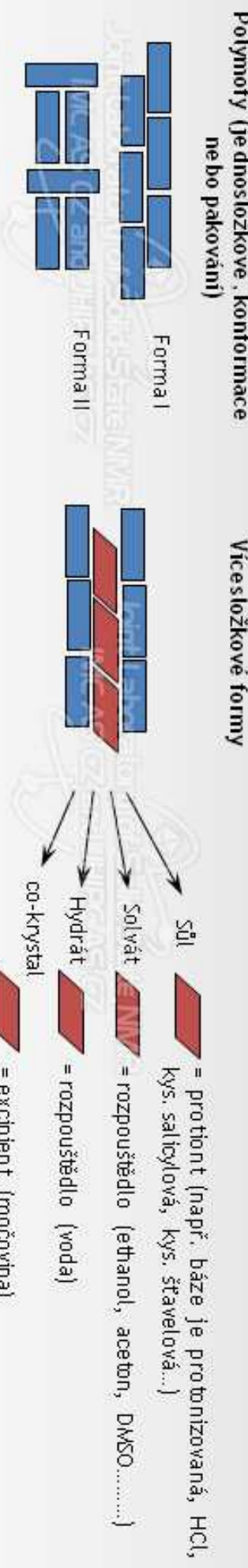
Faktorová analýza

■ On the basis of the large database of ^{13}C and ^{19}F NMR spectra the factor analysis can be used to analyze rapidly acquired ^{19}F NMR spectra to predict ^{13}C CP/MAS NMR spectra of disordered forms of atorvastatin. In this way almost featureless ^{19}F NMR spectra provide site-specific structural information (location of sites in molecule of atorvastatin that are changed).

■ The main success was that the correlation between the spectra ^{13}C and ^{19}F of amorphous sample was find in the result of factor analysis. The behavior of changes described by the subspectrum S4 of the ^{13}C CP/MAS NMR series and ^{19}F MAS NMR are in a good agreement. This correlation is outline by the green (good) and red (poor) arrows between the graphs of reordered scores V4.

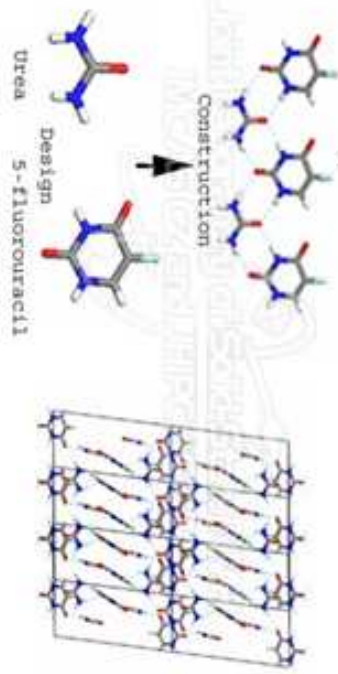
Sůl nebo co-krystal? (Patentové spory?)

Klasifikace různých krystalových forem



Co-krystal a jeho typická příprava

Močovina a 5-fluorouracil.



Co-krystal nebo sůl anebo co-krystal sůl?

Theophylline a kyselina salicylová.

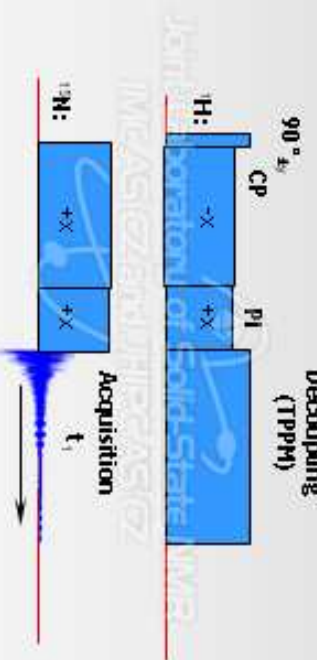


Z hlediska patentové ochrany mohou být již všechny sole patentovány. Z chemického hlediska souvisí s mírou protonizace dusíkového atomu.

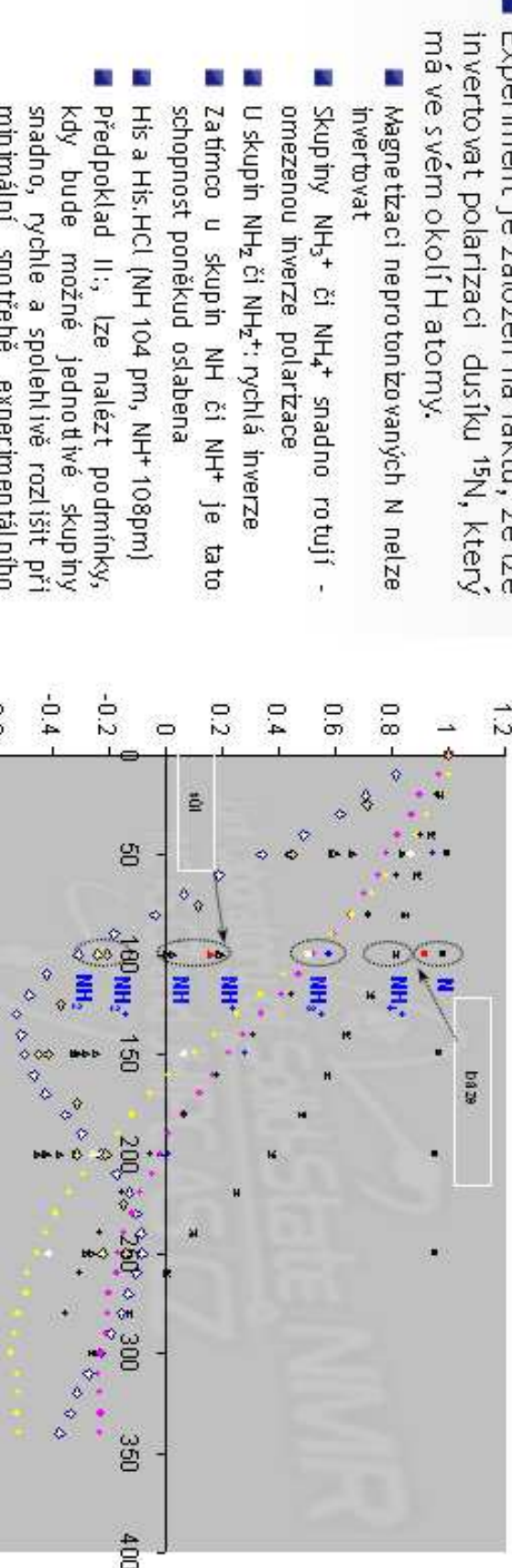
Sůl nebo co-krystal?

^{15}N CPPI/MAS NMR - identifikace - N-jednotek

- Předpoklad I: experiment umožní rozlišit dusíkové atomy podle počtu blízkých vodíkových atomů, a to buď vázanych klasickou kovalentní vazbou nebo vazbou vo dílkovou skrze volný elektronový pár.



Závislost intenzity ^{15}N NMR signálu na délce PI periody



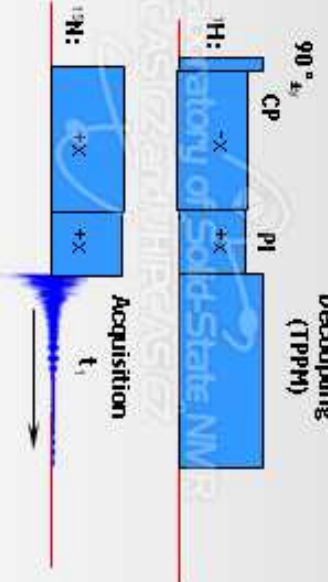
- Experiment je založen na faktu, že lze invertovat polarizaci dusíku ^{15}N , který má ve svém okolí H atomy.
- Magnetizaci neprotónizovaných N nelze invertovat
- Skupiny NH_3^+ či NH_4^+ snadno rotují - omezenou inverze polarizace
- U skupin NH_2 či NH_2^+ : rychlá inverze
- Zatímco u skupin NH či NH^+ je tato schopnost poněkud oslabena
- His a His.HCl (NH 104 ppm, NH^+ 108 ppm)
- Předpoklad II: lze nalézt podmínky, kdy bude možné jednotlivé skupiny snadno, rychle a spolehlivě rozlišit při minimální spotřebě experimentálního času



Sůl nebo co-krystal?

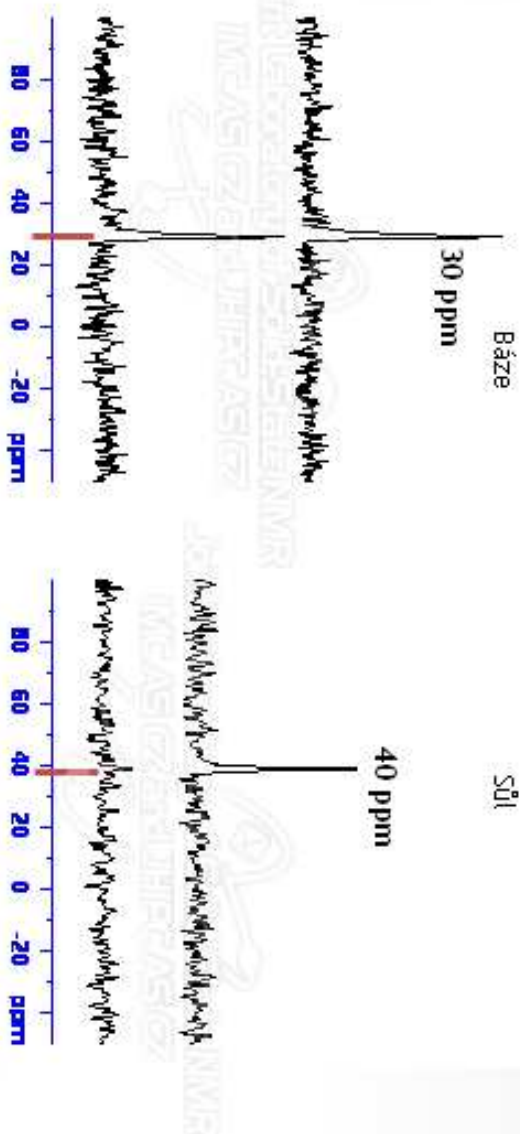
^{15}N CPPI/MAS NMR - identifikace - N-jednotek

- Předpoklad I: experiment umožní rozlišit dusíkové atomy podle počtu blízkých voďkových atomů, a to buď vázaných klasickou kovalentní vazbou nebo vazbou vodíkovou skrze volný elektronový pár.



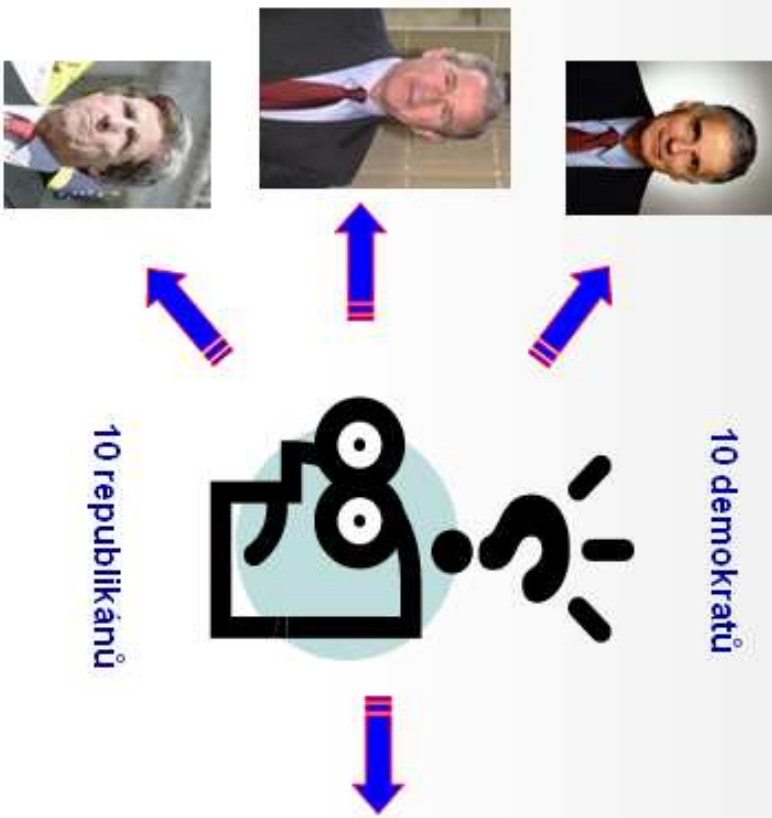
Závislost intenzity ^{15}N NMR signálu na délce PI periody

- Experiment je založen na faktu, že lze invertovat polarizaci dusíku ^{15}N , který má ve svém okolí H atomy.
- Magnetizaci neprotónizovaných N nelze invertovat
- Skupiny NH_3^+ či NH_4^+ snadno rotují - omezenou inverze polarizace
- U skupin NH_2 či NH_2^+ : rychlá inverze
- Za tímco u skupin NH či NH^+ je tato schopnost poněkud oslabena
- předpoklad II: lze nalézt podmínky, kdy bude možné jednotlivé skupiny snadno, rychle a spolehlivě rozlišit při minimální spotřebě experimentálního času

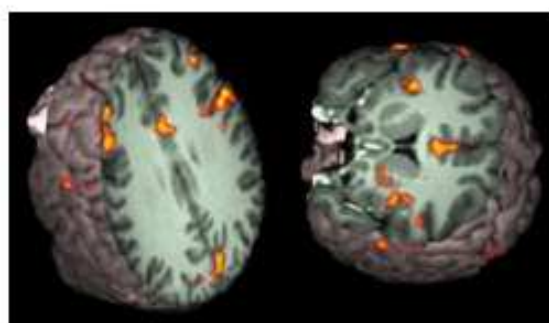


Funkční NMR

Jonas T. Kaplan, Joshua Freedman and Marco Iacoboni,
Us versus them: Political attitudes and party affiliation influence neural response to faces of presidential candidates, Neuropsychologia (2006)



Aktivace části mozku zvyší průtok krve. Potřeba kyslíku se projeví vyšším obsahem oxyhemoglobinu a poklesem deoxyhemoglobinu (paramagnetický). Aktivovaná místa mají silnější signál - svítí více než místa deaktivovaná. Nárůst intenzity je ale jen 1-5 %.



It might be suggested that personal opinions about these individual politicians rather than their actual political persuasion might also influence activity in the brain. However, it is probably best to keep out of any political office that has its own MRI machine, especially if you're not one of us.



Martina Urbanova
Tereza Sombati
Jiri Czernek

Alexandr Jegorov

Bohumil Kratochvíl
Jaroslav Maixner
Michal Hušák



contacts:
brus@imc.cas.cz

+420 296 809 380
+420 296 809 378
+420 296 809 377

<http://www.imc.cas.cz/hmr/>

Grant IAA400500602, GA AS CR, 2006-2010
Grant 2B08021, MŠMT, 2008-2011

Sponsors:

